



การเชื่อมด้านทันทนาแบบจุดอลูมิเนียมและเหล็กกล้าเคลือบสังกะสี

Resistance Spot Welding Aluminum Alloy to Galvanized Steel

ศักดิ์ชัย จันทร์ครรชี¹ ไพบูลย์ แย้มเพื่อน² สมชาย วนไทยสังค์ กิตติพงษ์ กิมพงษ์³

^{1,2,4}ภาควิชาวิศวกรรมอุตสาหการ คณะวิศวกรรมศาสตร์ มหาวิทยาลัยเทคโนโลยีราชมงคลธัญบุรี

อ.ธัญบุรี จ.ปทุมธานี 12110

³สาขาวิชาวิศวกรรมอุตสาหการ คณะวิศวกรรมศาสตร์ มหาวิทยาลัยธัญบุรี

29 เพชรเกษม 110 แขวงหนองค้างพลู เขตหนองแขม กรุงเทพฯ รหัสไปรษณีย์ 10160

E-mail: sakchai747@hotmail.com*

บทคัดย่อ

บทความนี้มีจุดประสงค์เพื่อนำเสนอการทบทวนการประยุกต์ใช้การเชื่อมด้านทันทนาแบบจุดในการเชื่อมรอยต่อระหว่างอลูมิเนียมและเหล็กกล้า ผลการศึกษาพบว่า การเชื่อมด้านทันทนาแบบจุดสามารถใช้ในการเชื่อมรอยต่อระหว่างอลูมิเนียมและเหล็กกล้าได้ แต่ด้วยการเชื่อมที่เหมาะสมต้องทำการพิจารณาต่อไป การก่อตัวของสารประกอบกึ่งโลหะส่วนใหญ่ของรอยต่อเป็นสิ่งที่ต้องระมัดระวังเป็นพิเศษ เนื่องจากความหนาและชนิดของสารประกอบกึ่งโลหะส่วนใหญ่โดยตรงต่อความแข็งแรงของรอยต่อ การวิจัยและพัฒนาเพื่อหาค่าที่เหมาะสมในการเชื่อมรอยต่อระหว่างอลูมิเนียมและเหล็กกล้า ควรมีการคำนึงถึงการต่อไปเพื่อเป็นการเตรียมข้อมูลเพื่อนฐานสำหรับงานอุตสาหกรรมต่อไป คำหลัก การเชื่อมเสียดทานแบบจุด, อลูมิเนียม, เหล็กกล้า,

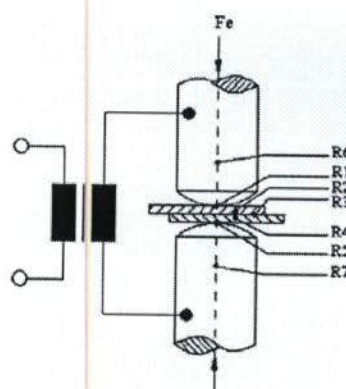
1. บทนำ

การเชื่อมด้านทันทนาแบบจุด (Resistance Spot Welding: RSW) เป็นกรรมวิธีการเชื่อมแบบหลอมละลายที่อาศัยความร้อนที่เกิดจากการต้านทานการไหลของกระแสผ่านพื้นที่รอยต่อในการหลอมวัสดุและกดให้ติดกันด้วยแรงดันจากอิเล็กโทรดทั้งสองข้างให้ติดกัน กระบวนการเชื่อมนี้เป็นวิธีการสำคัญที่ใช้กันมากในงานอุตสาหกรรมการผลิตรถยนต์ ดังเห็นได้จากรถยนต์หนึ่งคันที่มีปริมาณการต่อสัมภาระต่ำกว่า 100 กิโลกรัม [1] นั่นในข้อดีของการเชื่อมด้านทันทนาแบบจุดของชิ้นส่วนระหว่างวัสดุเดียวกัน วัสดุต่างชนิด หรือวัสดุที่มีความหนาแตกต่างกัน ในปริมาณมากกว่าหนึ่งพันจุด [1] นั่นในข้อดีของการเชื่อมด้านทันทนาแบบจุดเมื่อเปรียบเทียบกับการเชื่อมทิก คือ รอยเชื่อมของการเชื่อมด้านทันทนาแบบจุดนั้นเกิดขึ้นด้านนอก ลักษณะเช่นนี้ทำให้รอยเชื่อมของการเชื่อมทิกนั้นมีความกว้างต่อการทดสอบมากกว่า [2]

ขณะเดียวกันในมุมมองของอุตสาหกรรมการผลิตรถยนต์ในปัจจุบันที่มุ่งเน้นในการผลิตรถยนต์ที่มีการใช้ไม้น้อยยิ่งประยุกต์เพื่อเป็นการอนุรักษ์พลังงาน และรักษาสิ่งแวดล้อม อุตสาหกรรมยานยนต์ได้พยายามคิดค้นหาวิธีการในการลดการใช้น้ำมันของรถยนต์ด้วยวิธีการต่างๆ หนึ่งในวิธีการที่มีการใช้งานในปัจจุบัน คือ การทำให้น้ำหนักโดยรวมของรถยนต์ลดลง ซึ่งทำได้โดยการนำเอา

วัสดุที่มีอัตราส่วนระหว่างความแข็งแรงต่อน้ำหนักสูง เช่น เหล็กกล้าผสมต่ำความแข็งแรงสูง (High strength low alloy: HSLA) วัสดุประกอบ (Composite materials) หรืออลูมิเนียมผสมเข้ามาแทนที่ชิ้นส่วนที่ผลิตจากเหล็กกล้าที่มีน้ำหนักสูงกว่า [3] วัสดุน้ำหนักเบาที่นิยมนำมาใช้งานเพิ่มขึ้นในการทดสอบเหล็กกล้าในปัจจุบัน คือ อลูมิเนียม เนื่องจากอลูมิเนียมเป็นโลหะที่มีค่าอัตราส่วนระหว่างความแข็งแรงและน้ำหนักสูงกว่าเหล็กประมาณ 2 เท่า [4] อย่างไรก็ตามในการเชื่อมด้านทันทนาแบบจุดอยู่ต่อระหว่างเหล็กและอลูมิเนียมนั้นมีความยากลำบากในการเชื่อมเพื่อให้รอยต่อที่มีประสิทธิภาพสูง และวัสดุบางตัวที่มีการใช้งานมากในอุตสาหกรรมยานยนต์ในประเทศไทย คือ รอบต่อเกี่ยวระหว่างเหล็กกล้าเคลือบสังกะสี SGACD และอลูมิเนียม AA1100 ซึ่งเป็นวัสดุที่ใช้งานมากในการผลิตตัวถังของรถยนต์นั่นไม่มีการรายงานไว้ ดังนั้นหากมีการทำการทดลองเพื่อเตรียมข้อมูลไว้ อาจทำให้เกิดประโยชน์สูงในอนาคตเพื่อการพัฒนาอุตสาหกรรมยานยนต์ไทยต่อไป

2. พื้นฐานการเชื่อมด้านทันทนาแบบจุด



รูปที่ 1 การเกิดความต้านทานในการเชื่อมด้านทันทนาแบบจุด [5]

การเชื่อมด้านทันทนาแบบจุด คือ กรรมวิธีการประสานวัสดุที่ผิวน้ำสัมผัสรอยต่อด้วยความร้อนที่เกิดจากความต้านทานในของกระแสผ่านรอยต่อที่ถูกกดแน่นด้วยแรงกดจากอิเล็กโทรด



(Fe) ดังแสดงในรูปที่ 1 ผิวสัมผัสในพื้นที่ที่กระแสเส้นขึ้นมีความร้อนเพิ่มขึ้นโดยความต่างศักย์ที่มีค่าต่ำและกระแสที่ค่าสูงในช่วงพลังสั่งสั่นๆ เพื่อที่ทำให้เกิดการหลอมละลายของโลหะเข้ม เมื่อกระแสเกิดการไหล แรงกดจากอิเล็กโทรดจะคงกันจนบริเวณที่หลอมละลายเย็นดัวและแข็งดัว และปล่อยแรงกดออกเมื่อแนวเชื่อมมีความสมบูรณ์ซึ่งใช้วิลาก่อนข้างสั้น

ค่าความต้านทานที่เกิดขึ้นขณะทำการเชื่อมขึ้นดังแสดงในรูปที่ 1 ประกอบด้วยความต้านทานหัวหมุด 7 จุด ดังนี้

- ค่าความต้านทาน R₁ คือ ความต้านทานของผิวชั้นทดสอบต้านบน (Upper specimen resistance)
- ค่าความต้านทาน R₂ คือ ความต้านทานระหว่างผิวของชั้นทดสอบต้านบน (Upper specimen resistance) และผิวของชั้นทดสอบต้านล่าง (Lower specimen resistance)
- ค่าความต้านทาน R₃ คือ ความต้านทานระหว่างผิวของชั้นทดสอบต้านบน (Upper specimen resistance) และผิวของชั้นทดสอบต้านล่าง (Lower specimen resistance)
- ค่าความต้านทาน R₄ คือ ความต้านทานของผิวชั้นทดสอบต้านล่าง (Lower specimen resistance) และผิวของอิเล็กโทรดต้านล่าง (Lower electrode contact resistance)
- ค่าความต้านทาน R₅ คือ ความต้านทานระหว่างผิวของชั้นทดสอบต้านล่าง (Lower specimen resistance) และผิวของอิเล็กโทรดต้านบน (Upper electrode contact resistance)
- ค่าความต้านทาน R₆ คือ ความต้านทานของอิเล็กโทรดต้านบน (Upper electrode resistance)
- ค่าความต้านทาน R₇ คือ ความต้านทานของอิเล็กโทรดต้านล่าง (Lower electrode resistance)

Aslanlar [5] ได้สรุปค่าความต้านทานโดยรวมของการเชื่อมต้านทานแบบจุดว่าสามารถหาค่าได้ตามสมการที่ 1 คือ

$$R = R_1 + R_2 + R_3 + R_4 + R_5 + R_6 + R_7 \quad (1)$$

เมื่อค่าความต้านทานประกอบด้วยสองส่วน คือ ความต้านทานของวัสดุ (R₂, R₄, R₆, R₇) และความต้านทานที่ผิวสัมผัสระหว่างชิ้นงานกับอิเล็กโทรด (R₁, R₃) ความต้านทานของวัสดุชิ้นอยู่กับสมบัติทางกายภาพของชิ้นงาน (R₂, R₄) และอิเล็กโทรด (R₆, R₇) ค่าต่างๆ เหล่านี้ไม่สามารถเกิดการเปลี่ยนแปลงขณะทำการเชื่อม ขณะเดียวกันค่าความต้านทานที่จุดสัมผัสนั้นสามารถเปลี่ยนแปลงได้ชิ้นอยู่กับสภาวะของปลายอิเล็กโทรด ค่าความต้านทานที่ทำให้เกิดแนวเชื่อมเกิดขึ้นจากค่าความต้านทาน R₃ ซึ่งเป็นค่าที่ทำให้เกิดความร้อนสูงสุดในรอบต่อเกย ค่าความร้อนที่มีค่าสูงนี้อยู่กับสภาวะพื้นผิวของของโลหะที่ใช้เชื่อม แรงกดกระแสเชื่อม และเวลาเชื่อม

นอกจากนั้นหากพิจารณาค่าความร้อนที่เกิดขึ้นแล้ว ค่าความต้านทานโดยรวมขึ้นอยู่กับความตันที่ผิวสัมผัส ค่า R₁, R₃ และ R₇ ที่อินเทอร์เฟสระหว่างชิ้นงาน การให้ความร้อนพื้นที่สัมผัส R₁ และ R₇ ถูกต้องต้องมีการซัดเชยค่าอุณหภูมิและรักษาอุณหภูมิของอิเล็กโทรดให้มีค่าต่ำ ด้วยประสิทธิภาพที่ทำให้ได้ค่าความร้อนที่

ถูกต้อง คือ อิเล็กโทรดต้องมีสมบัติการนำความร้อนที่ดี มีค่าที่ละเอียดและสะอาดปราศจากสิ่งปนเปื้อน เช่น คราบน้ำมัน หรือสารน้ำ [5]

การเชื่อมต้านทานแบบจุดนี้ นิยมในการนำไปทำการเชื่อมประกอบโลหะแผ่นบาง เช่น โครงสร้างรากยนต์ เครื่องใช้ไฟฟ้า เฟอร์นิเจอร์ สิ่งก่อสร้าง ชิ้นส่วนเครื่องบิน เป็นต้น ข้อดีของการเชื่อมต้านทานแบบจุดที่เห็นได้เด่นชัด คือ ความเร็วในการเชื่อมมีค่าสูง และความหมายสมส่วนหันการผลิตแบบอัตโนมัติ สามารถนำเข้าไปร่วมในการผลิตแบบอัตโนมัติในสายการผลิตร่วมกับเครื่องจักรต่างๆ ได้เป็นอย่างดี ทำให้เป็นการลดค่าใช้จ่ายในการทำซ่อมและการปฏิบัติการได้อย่างดีเยี่ยม [6]

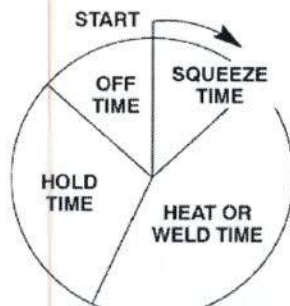
3. ตัวแปรการเชื่อม

3.1 การเกิดความร้อน (Heat generation)

การประยุกต์ใช้กฎของโอล์มีเอยะส์ให้ผ่านตัวนำ ความต้านทานไฟฟ้าที่บันยั้งการไหลผ่านของกระแสจะทำให้เกิดความร้อน (H) ที่สัมพันธ์กับกระแสเชื่อม (I) และความต้านทาน (R) โดยเป็นไปตามสูตรพื้นฐาน [2] ดังนี้

$$H = I^2 R \quad (2)$$

3.2 เวลา (Time) [2]



รูปที่ 2 รอบเวลาการเชื่อมต้านทานแบบจุด [2]

การเชื่อมต้านทานแบบจุดเกิดขึ้นในช่วงเวลาที่สั้น โดยทั่วไปกระแสที่ใช้ในการเชื่อมต้านทานแบบจุดมีค่าที่ 60 ไซเคิล (Cycle) โดยที่ 60 ไซเคิล มีค่าเท่ากับ 1 วินาที เวลาในการเชื่อมต้านทานแบบจุดแสดงได้ดังรูปที่ 2 ซึ่งประกอบด้วยเวลาหลัก 4 ส่วน และนิวัฒน์ คุณวางศ์ [7] ได้ให้คำนิยามดังๆ ที่น่าสนใจดังนี้

- เวลาดัด (Squeeze time) คือ เวลาที่เริ่มต้นเข้ามาของสัญญาณ เชื่อมและกระแสเชื่อมในครั้งแรกเป็นเวลาที่อิเล็กโทรดสัมผัสนับชิ้นงานและมีแรงกดเพียงพอ ก่อนที่กระแสเชื่อมถูกปล่อยออกมาก
- เวลาเชื่อม (Weld time) คือ เวลาที่กระแสเชื่อมถูกปล่อยเข้ามาในชิ้นงานที่ต้องการเชื่อม ในช่วงลักษณะการเชื่อมหนึ่งครั้ง
- เวลาดักจับ (Hold time) คือ ช่วงเวลาที่แรงกดจากหัวอิเล็กโทรดที่ยังคงทำต่อชิ้นงานหลังจากการเชื่อมในช่วงเวลาท้ายสุดสิ้นสุด



ลง ช่วงเวลาที่เป็นช่วงเวลาที่ปล่อยให้ร้อนเชื่อมมีเวลาแข็งตัว ที่มากเพียงพอที่จะสร้างความแข็งแรงขึ้นในรอยเชื่อมจนสามารถย้อมรับได้

- เวลาเขื่อนตัว (Off time) คือ ช่วงเวลาระหว่างเวลาที่หัวอิเล็กโทรดเสร็จสิ้นการทำงาน ณ ตำแหน่งที่ทำการเชื่อมและการเคลื่อนที่ไปทำการเชื่อมที่ตำแหน่งที่ต้องการต่อไป เป็นลักษณะการเชื่อมชั้นรองการเชื่อมเดิม (กระแสเชื่อม และเวลาเชื่อมบังคิดิม)

ด้วยเหตุนี้ เมื่อทำการพิจารณาค่าเวลาการเชื่อมเข้ามา เกี่ยวข้องแล้ว สมการการเกิดความร้อนสมการที่ 2 จะเกิดการเปลี่ยนแปลงได้สมการการเกิดความร้อน (H) จากการเชื่อมด้านหน้าแบบบุล [2] ที่สัมพันธ์กับกระแสไฟฟ้า (I) ความด้านหน้า (R) เวลาเชื่อม (t) และการสูญเสียความร้อน (K) ดังนี้

$$H = I^2 RTK \quad (3)$$

เวลาการเชื่อมเป็นสิ่งสำคัญที่ต้องพิจารณาในการเชื่อมด้านหน้าแบบบุล ถ้าเวลาในการเชื่อมยาวนานเกินไปแล้วอาจทำให้โลหะเชื่อมเกิดการหลอมละลายได้ และอาจส่งผลทำให้เกิดโครงสร้างภายในได้ นอกจากนั้น อาจทำให้เกิดการดึงเอาร่องรอยของจากพื้นที่การเชื่อมซึ่งทำให้เกิดการลดพื้นที่หน้าตัดลงได้ เวลาการเชื่อมที่สั้นเกินไปนั้นทำให้การถ่ายเทความร้อนเป็นไปได้ลำบากในโลหะเชื่อม ไม่เกิดการบิดเบี้ยว พื้นที่ผลกระทบความร้อนนั้น อยู่นักเกิดมีขนาดเล็ก

อย่างไรก็ตามสมการความร้อนที่แสดงในสมการที่ 3 ไม่นิยมนำมาใช้มากนัก เนื่องจากค่าสูญเสียความร้อนนั้นมีค่าที่สามารถวัดได้ยาก ด้วยเหตุนี้จึงมีการประยุกต์ใช้สมการความร้อน (Q) ที่ก่อตัวในแนวเชื่อม [5,7-8] ที่สัมพันธ์กับกระแสไฟฟ้า (I) ความด้านหน้า (R) และเวลาเชื่อม (t) ดังต่อไปนี้

$$Q = I^2 Rt \quad (4)$$

3.3 แรงกด (Pressure)

อุดประսงค์ของการใช้แรงกดดันต่อรอยต่อการเชื่อมด้านหน้าแบบบุล คือ การกดยืดชิ้นงานสองชิ้นเข้าด้วยกันในขั้นตอนเริ่มต้นการเชื่อมเพื่อกำหนดความด้านหน้าไฟฟ้าและการนำไฟฟ้าที่จุดที่ต้องการเชื่อม ไม่ได้มีหน้าที่ในการรับยึดชิ้นงานให้แน่นเข้าหากัน ด้วยเหตุนี้ในการเชื่อมด้านหน้าแบบบุล ชิ้นงานต้องใช้เครื่องมืออื่นๆ เช่น อุปกรณ์จับยึด ในการจับยึดชิ้นงานให้แน่นและอยู่ในตำแหน่งการเชื่อมก่อนการกดของอิเล็กโทรดเสมอ

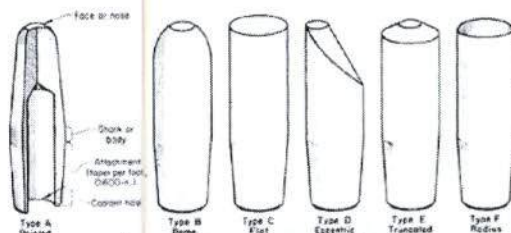
ค่าแรงกดที่มีค่ามากจะทำให้ความด้านหน้าที่เกิดขึ้นในชิ้นงานเชื่อมนั้นมีค่าลดลงที่จุดสัมผัสระหว่างปลายอิเล็กโทรดและผิวชิ้นงาน ค่าแรงกดที่เหมาะสมจะทำให้เกิดการนำความร้อนจากโลหะเชื่อม ค่ากระแสที่มีค่าสูงนั้นจำเป็นต้องใช้ค่าแรงกดที่มีค่ามากขึ้นที่แรงกดน้อยต้องการค่ากระแสที่มีค่าน้อย ดังนั้นในการใช้งานเครื่องเชื่อมจึงควรมีการใช้งานอย่างระมัดระวัง

3.4 หัวอิเล็กโทรด (Electrode tip)

ทองแดง คือ โลหะที่นิยมนำมาทำเป็นอิเล็กโทรดการเชื่อมด้านหน้าแบบบุล จุดประสงค์หลักในการใช้อิเล็กโทรด คือ เพื่อเป็นตัวนำกระแสการเชื่อมสู่ชิ้นงาน บริเวณจุดที่มีแรงกดกระทำ เพื่อนำความร้อนออกจากผิวน้ำเข้าชิ้นงาน และเพื่อรักษาคุณลักษณะของความร้อนและกระแสไฟฟ้าการเชื่อมให้อยู่ในระดับที่เหมาะสมขณะทำการเชื่อม

ปลายอิเล็กโทรดทำจากทองแดงผสมหรือวัสดุอื่นๆ โดยสมาคมผู้ผลิตเครื่องเชื่อมด้านหน้า (The Resistance Welders Manufacturing Association: RWMA) ได้แบ่งกลุ่มปลายอิเล็กโทรดออกเป็น 2 กลุ่มใหญ่ คือ

- กลุ่ม A ทองแดงผสม (Copper based alloy) และมีการแบ่งกลุ่มย่อยโดยใช้เลขโรมัน I-V โดยกลุ่ม I นั้นเป็นกลุ่มที่มีส่วนผสมเคลือบไกล์เดียวกับทองแดงบริสุทธิ์มากที่สุด เมื่อตัวเลขแบ่งกลุ่มเพิ่มขึ้น ความแข็งและอุณหภูมิการอ่อนจะเพิ่มขึ้น ขณะที่ค่าการนำความร้อนและการนำไปฟลัดลง
- กลุ่ม B โลหะที่ความร้อนสูง (Refractory metal) เป็นโลหะผงชิ้นสู่ปยกตัวอย่างเช่น ของสมรรถนะว่างทองแดงและไททาเนียม ที่ออกแบบมาเพื่อป้องกันการเกิดการสึกกร่อนและความด้านหน้าการกดอัดที่อุณหภูมิสูง ในกลุ่มนี้มีการแบ่งกลุ่มย่อยออกเป็นระดับ 10 11 12 13 และ 14 ยกตัวอย่างเช่น กลุ่ม 10 หมายถึง ค่าสมบัติการนำไฟฟ้ามีค่าเท่ากับร้อยละ 40 ของทองแดง ค่าการนำไปฟลัดลงมีค่าลดลงเมื่อจำนวนตัวเลขเพิ่มขึ้น



รูปที่ 3 รูปว่างมาตรฐานของอิเล็กโทรด [6]

รูปที่ 3 แสดงรูปแบบของอิเล็กโทรดมาตรฐานของสมาคมผู้ผลิตเครื่องเชื่อมด้านหน้า 6 รูปแบบแสดงด้วยสัญลักษณ์ตัวอักษรตั้งแต่ A ถึง F อิเล็กโทรด A แบบบุล (Type A Pointed) ใช้สำหรับงานที่ต้องการค่าความกว้างของเส้นผ่านศูนย์กลางนักเกตสูง อิเล็กโทรด D แบบรูปว่างผิดปกติ (Eccentric type) ใช้กับพื้นที่แคนๆ หรือมุ่งอับ เป็นต้น

พิจารณาขั้นตอนการเชื่อมด้านหน้าแบบบุล พบว่าขนาดของนักเกตตันสามารถควบคุมได้ด้วยขนาดของปลายอิเล็กโทรด [2] โดยปกติขนาดเส้นผ่านศูนย์กลางของนักเกตควรมีขนาดที่เล็กกว่าเส้นผ่านศูนย์กลางของปลายอิเล็กโทรดเล็กน้อย ถ้าปลายอิเล็กโทรดมีค่าน้อยจะส่งผลทำให้นักเกตมีขนาดที่เล็กและไม่แข็งแรง แต่ถ้าเส้นผ่านศูนย์กลางของปลายอิเล็กโทรดตันมีขนาดที่ใหญ่เกินไป จะส่งผลทำให้นักเกตมีขนาดใหญ่ และทำให้แนวเชื่อมเกิดรูรุนได้



การหาค่าเส้นผ่านศูนย์กลางอิเล็กโทรดของการเชื่อมอิเล็กโทรด [2] สามารถหาค่าได้โดยการใช้สูตรดังต่อไปนี้

$$\text{เส้นผ่านศูนย์กลางปลายอิเล็กโทรด} = 0.100'' + 2t \quad (5)$$

เมื่อ t คือ ความหนาของวัสดุม้วนways เป็นนิ้ว สมการนี้สามารถใช้กับการเชื่อมโลหะที่มีความหนาต่างกันได้ อายุรักษ์ตามสมการที่ 5 นี้แตกต่างจากสมการที่เสนอโดยสมาคมโลหะอเมริกา [6] ที่แสดงสมการสำหรับค่าเส้นผ่านศูนย์กลางของปลายอิเล็กโทรดสำหรับแผ่นโลหะที่มีความหนาไม่เกิน 3 มม. (1/8 นิ้ว) เมื่อใช้อิเล็กโทรดแบบ F ที่แสดงในรูปที่ 3 สามารถหาค่าเส้นผ่านศูนย์กลางของอิเล็กโทรดที่มีค่าดังสมการที่ 6 ดังนี้

$$D_2 = \sqrt{t} \quad (6)$$

เมื่อ D_2 คือ ขนาดเส้นผ่านศูนย์กลางของปลายอิเล็กโทรดในหน่วย มม. และ t คือ ความหนาของแผ่นวัสดุ โดยเมื่อใช้อิเล็กโทรดแบบ F และ ขนาดเส้นผ่านศูนย์กลางของปลายอิเล็กโทรดมีค่าเท่ากับเส้นผ่านศูนย์กลางนักเก็ต หรืออาจมีค่าเท่ากับ

$$D = D_2 = 5\sqrt{t} \quad (7)$$

เมื่อทำการเชื่อมวัสดุที่มีความหนาต่างกัน ขนาดเส้นผ่านศูนย์กลางของปลายอิเล็กโทรดและเส้นผ่านศูนย์กลางนักเก็ตต้องมีค่าเหมาะสมอ้างอิงตามแผ่นบางกว่าเป็นหลัก หรือหากทำการเชื่อมโลหะสามแผ่นเข้าด้วยกัน ขนาดเส้นผ่านศูนย์กลางของปลายอิเล็กโทรดและเส้นผ่านศูนย์กลางนักเก็ตต้องมีค่าเหมาะสมอ้างอิงตามแผ่นที่สอง

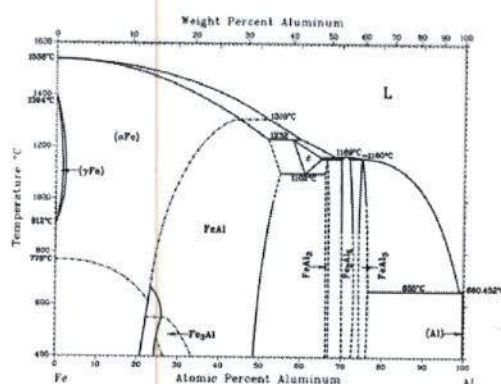
หากใช้อิเล็กโทรดแบบ A หรือ B สมการที่ 5 อาจไม่สามารถใช้ได้ ขนาดของขนาดเส้นผ่านศูนย์กลางของปลายอิเล็กโทรดจะขึ้นอยู่กับความกว้างของแผ่นประภากึ่งอาจสามารถหาค่าได้จากสมการที่ 6 นอก จากนั้นเมื่อพิจารณาการใช้งานจากสภาพการใช้งานจริงแล้ว ขนาดเส้นผ่านศูนย์กลางของปลายอิเล็กโทรดจะมีขนาดที่ใหญ่ขึ้นจึงต้องมีการปรับปรุงให้มีขนาดที่ยอมรับได้เสมอ ซึ่งขนาดที่สามารถยอมรับได้ต้องมีค่าไม่เกิน 30% ของขนาดเส้นผ่านศูนย์กลางของปลายอิเล็กโทรดเริ่มต้น

4. โลหะวิทยาการรวมตัวระหว่างอลูมิเนียมและเหล็ก

รูปที่ 4 แสดงแผนภาพสมดุลเฟสโลหะผสมเหล็กและอลูมิเนียมที่ใช้ในการพยากรณ์เฟสที่มักเกิดขึ้นในการรวมตัวของอลูมิเนียมและเหล็ก พบร่วมกันนี้เมื่อมีการรวมตัวของอลูมิเนียมและเหล็กด้วยวิธีการใดๆ ก็ตาม สารประกอบกึ่งโลหะรูปแบบต่างๆ จะเกิดขึ้น และสามารถแบ่งกลุ่มของสารประกอบกึ่งโลหะออกได้เป็น 5 ชนิด คือ เฟส Fe_3Al FeAl FeAl_2 , Fe_2Al_5 และ FeAl_3

เพื่อความเข้าใจที่ง่ายยิ่งขึ้น Kobayashi and Yakou [9] ได้แบ่งกลุ่มของสารประกอบกึ่งโลหะออกเป็น 2 กลุ่มตามปริมาณของ

ธาตุผสมในสารประกอบกึ่งโลหะ คือ สารประกอบกึ่งโลหะที่มีปริมาณของอลูมิเนียมผสมสูง สารประกอบกึ่งโลหะกลุ่มนี้มีสมบัติแข็งและเปราะ ซึ่งหากนำไปทำการรับแรงแล้วจะทำให้เกิดการพังทลายได้ร้ายแรงจากมีความยืดหยุ่นต่ำ และสารประกอบกึ่งโลหะที่มีปริมาณของเหล็กผสมสูง สารประกอบกึ่งโลหะกลุ่มนี้มีสมบัติ คือ มีความต้านทานการสึกกร่อน (Wear Resistance) ที่มีความต้านทานการเกิดออกไซด์ (Oxide Resistance) สูง และมีความต้านการแตกหัก (Fracture Strength) ดี



รูปที่ 4 แผนภาพสมดุลเฟสอลูมิเนียมและเหล็ก [8]

ด้วยเหตุนี้ในการเชื่อมต้านทานแบบจุดรอยต่อวัสดุต่างชนิดโดยเฉพาะรอยต่ออะหัวว่างอลูมิเนียมและเหล็ก ควรให้ความระมัดระวังเป็นพิเศษ เพื่อให้ได้สมบัติทางกลตามต้องการ ในเบื้องต้นหากพิจารณาสมบัติของสารประกอบกึ่งโลหะทั้งสองแบบนั้น พบร่วมกันนี้มีปริมาณของเหล็กสูง คาดว่าจะทำให้รอยต่ออะหัวว่างอลูมิเนียมและเหล็กนั้นมีความแข็งแรงเหมาะสมในการนำไปประยุกต์ใช้งานมากกว่า

อย่างไรก็ตามบัญหาที่มักเกิดขึ้นในการเชื่อมยึดรอยต่ออะหัวว่างอลูมิเนียมและเหล็กที่พบในอดีต คือ การเกิดการแพร่ของอะตอนของธาตุทั้งสองเข้าหากัน เนื่องจากค่าสัมประสิทธิ์การแพร่ (Diffusion coefficient) ของเหล็กสู่อลูมิเนียมมีค่า $53 \times 10^{-4} \text{ m}^2/\text{s}$ ที่ $793-922\text{K}$ และมีค่ามากกว่าการแพร่ของอลูมิเนียมสู่เหล็กที่มีค่า $1.8 \times 10^{-4} \text{ m}^2/\text{s}$ ที่ $1003-1673\text{K}$ [9] ค่าต่างๆ เหล่านี้แสดงให้เห็นถึงความสามารถในการแพร่ของอลูมิเนียมเข้าสู่เหล็กได้มากกว่า

5. รอยต่อวัสดุต่างชนิดที่ผ่านการเชื่อมต้านทาน

แบบจุด

- การเชื่อมอลูมิเนียมผสมเกรด A5052 เข้ากันผ่านเหล็กรีดเย็น SPCC และเหล็กกล้ารีสัมมิ 304 ที่ทำการศึกษาโครงสร้างจุลภาคบริเวณอินเทอร์เฟสของรอยต่อเกย์ด้วยกล้องจุลทรรศน์แบบส่องสว่าง ความแข็งแรงของรอยต่อทำการศึกษาด้วยการทดสอบแรงดึงแบบยกน้ำหนัก และทำการศึกษาความสัมพันธ์ระหว่างโครงสร้างจุลภาคบริเวณอินเทอร์เฟสของรอยต่อเกย์และค่าความแข็งแรงของรอยต่อ พบร่วมกันนี้ความแข็งแรงมีความสัมพันธ์โดยตรงกับชั้นสารประกอบกึ่ง



โลหะที่ก่อตัวขึ้นบริเวณอินเทอร์เฟซของรอยต์ต์ ขณะที่รั้นสารประกอบกึ่งโลหะที่มีความไม่ต่อเนื่อง ส่วนมากพบที่บริเวณขอบของรอยต์ต์ เมื่อเปลี่ยนเทบิกันสารประกอบกึ่งโลหะแบบต่อ เนื่องแล้วสารประกอบกึ่งโลหะที่ไม่ต่อเนื่องหากมีอัตราการเกิดสูงจะทำให้ความแข็งแรงของรอยต์ต์มีค่าเพิ่มขึ้น [3]

- ร้อยต่ออะหัวว่างอลูมิเนียมผลิต AA5182-O และเหล็กกล้า SAE 1008 โดยมีแผ่นสอดคละหัวว่างแผ่นทั้งสอง คือ แผ่นเหล็กเคลือบลังกะสี SAE 1006 และแผ่นอลูมิเนียมผลิต AA1050 พับพื้นที่การหลอมละลายแบ่งออกเป็นสองส่วน นักเก็ตด้านของแผ่นเหล็กมีรูปวงปีกติดเมื่อถังการเชื่อมด้วยไฟ คือ มีรูปร่างวงรีคล้ายไข่ครึ่งใบที่ประกอบด้วยโครงสร้างเด่นโครงที่ภายในนักเก็ต และด้านอลูมิเนียม มีรูปร่างวงรีที่ในประกอบด้วยแผ่นบางตามอินเทอร์เฟซของรอยต่อ ความแข็งแรงของรอยต่อมีค่าที่สามารถเดียบเคี้ยงได้กับระดับความแข็งแรงของรอยที่ยึดตัวบาริเวช [10]
 - ร้อยต่ออะหัวว่างอลูมิเนียม A5052 และเหล็กกล้ารีดเย็น SPCC ที่มีความหนา 1.0 มม. โดยทำการเชื่อมด้านท่านแบบบุดและเปลี่ยนแปลงกระบวนการเชื่อมจาก 5-12 KVA ที่เวลาการเชื่อม 0.2 วินาที และแรงกด 2kN ชิ้นงานที่ได้ถูกนำมามากการตรวจสอบโครงสร้างอลูมิเนียมและการทดสอบความแข็งแรงแบบกำหนด พบร่วมความหนาของชั้นการเกิดปฏิกิริยานั้นมีความบางและมีขนาดที่เพิ่มสูงขึ้น เมื่อเข้าสู่ทึ่งกลางของแนวเชื่อม นอกจากนั้นเกิดการขยายตัวของ การแตกกรั่วเกิดที่รอบๆ แนวเชื่อมและเคลื่อนที่เข้าสู่ทึ่งกลางของชั้นปฏิกิริยา ชั้นการเกิดปฏิกิริยาส่งผลต่อการลดค่าความแข็งแรงอย่างต่อไปกรณีที่มีความหนามากกว่า 1.5 มม. [11]
 - ร้อยต่ออะหัวว่างอลูมิเนียม A5052 และเหล็กกล้ารีดเย็น SPCC ร้อยต่ออะหัวว่างอลูมิเนียม A5052 และเหล็กกล้าไวร์สันิม 304 และร้อยต่ออะหัวว่างอลูมิเนียม A5052 ที่ทำการเชื่อมด้านท่านแบบบุดที่มีแผ่นครอบด้านบนรอยเชื่อม พบร่วม เมื่อใช้แผ่นครอบด้านบนการเชื่อมทำให้ได้นักเก็ตที่มีขนาดใหญ่ถึงแม้ว่าไวร์จะเสื่อมต่ำ โครงสร้างของรอยต่ออะหัวว่างอลูมิเนียม A5052/เหล็กกล้ารีดเย็น SPCC และรอยต่ออะหัวว่างอลูมิเนียม A5052/เหล็กกล้าไวร์สันิม 304 แสดงการก่อตัวของสารประกอบกึ่งโลหะ Fe_2Al_5 และ $FeAl_3$ ค่าความหนาของสารประกอบกึ่งโลหะที่ก่อตัวขึ้นจะมีค่าเพิ่มขึ้นเมื่อกระแสไฟฟ้าในการเชื่อมเพิ่มขึ้น สารประกอบกึ่งโลหะไม่มีผลต่อรอยต่ออะหัวว่างอลูมิเนียม A5052/เหล็กกล้าไวร์สันิม 304 [12]

6. การพัฒนาระบวนการเชื่อมต้านทานแบบจุด รอยต่ออลูมิเนียมและเหล็ก

การเชื่อมต้านทานแบบบุคคลเป็นกระบวนการเชื่อมที่มีข้อดีและมีการใช้งานอย่างกว้างขวางในอุตสาหกรรมการผลิตอย่างนั้น นอกเหนือนั้นจากผลการทดลองในอดีต พบว่าการเชื่อมต้านทานแบบบุคคลนี้ สามารถประยุกต์ใช้ในการเชื่อมมอร์ติอะห่วงอลูมิเนียมและเหล็กได้ในเมืองตันแคนด้าว่าหากมีการพิจารณาเลือกใช้วัสดุการเชื่อมที่เหมาะสม คาดว่าจะทำให้ได้ร้อยเชื่อมที่สมบัติเป็นไปตามต้องการได้ และความมีการพิจารณาองค์ประกอบต่างๆ เหล่านี้อย่างระมัดระวัง

- การเลือกตัวแปรการเชื่อมที่เหมาะสม เพื่อทำการการประยุกต์ใช้ในการเชื่อมรอยต่อระหว่างอลูมิเนียมและเหล็ก ซึ่งตัวแปรต่างๆ ที่เกี่ยวข้องนั้นแสดงไว้ในหัวข้อที่ 3 โดยจุดประสงค์หลักที่ต้องการคือ ตัวแปรการเชื่อมได้ที่ให้ร้อยต่อระหว่างอลูมิเนียมและเหล็ก และแสดงค่าความแข็งแรงสูง

- โครงสร้างจุลภาคของรอยต่อ ในการเชื่อมวัสดุชนิดเดียวกันนั้น รูปร่างของนักเก็ตของรอยต่อ คือ สิ่งสำคัญที่แสดงถึงความสามารถ หลอมละลายเข้ากันของวัสดุ ซึ่งส่งผลโดยตรงต่อความสามารถ เชื่อมต่อ แข็งแรงของรอยต่อ อย่างไรก็ตาม ในการพิเศษของรอยต่อระหว่างอลูมิเนียมและ เหล็กนั้น ในเบื้องต้น รูปร่างนักเก็ตอาจไม่ใช่สิ่งที่ปั้นชี้ถึงความ แข็งแรงของรอยต่อ เนื่องจากรูปร่างของนักเก็ตที่ดีหมายถึงความสามารถ ในการรวมตัวของวัสดุรอบๆ แนวเชื่อมที่ดีและอาจบ่อกอก ถึงความสามารถในการก่อตัวของสารประizable กึ่งโลหะที่เพิ่มขึ้น ใน การพิเศษของรอยต่อระหว่างเหล็กและอลูมิเนียม โครงสร้างอินเทอร์เฟส (Interface structure) เป็นสิ่งที่ต้องคำนึงเป็นพิเศษ เนื่องจากการ ก่อตัวของสารประizable กึ่งโลหะมักก่อตัวขึ้นที่บริเวณนี้ และเป็นบริ เวณที่รับแรงโดยตรง เมื่อรอยต่อการเชื่อมด้านท่านแบบจุดถูกน้ำ ไปใช้งาน การทดสอบทำกำไรเรื่องเพื่อให้ได้ชั้นของสารประizable กึ่ง โลหะที่มีความบางที่สุด หรือเป็นสารประizable ที่มีปริมาณของเหล็ก ผสมอยู่สูงเป็นความคาดหวังทางจินตภาพ ณ ปัจจุบันเพื่อให้ได้ แนวเชื่อมที่มีความแข็งแรงต่อไป

- อุณหภูมิของรอยต่อแปรผันตรงกับกระแส เวลาเขื่อม และแรงกดดังแสดงในสมการที่ 4 การทำให้เกิดรอยต่อที่อุณหภูมิต่ำสุดเท่าที่เป็นไปได้เป็นวิธีการในการหลีกเลี่ยงชั้นสารประกอบกึ่งโลหะที่มีความหนาและเบา [9] ดังนั้นการควบคุมความร้อนเพื่อหลีกเลี่ยงการก่อตัวของสารประกอบกึ่งโลหะต้องพิจารณาอย่างระมัดระวัง

- การทดสอบสมบัติทางกลอื่นๆ ของรอยต่อเกี่ยวกะห่วงอุปกรณ์ เช่น และเหล็กกล้าความมีการศึกษาเพิ่มเติม เพื่อเพิ่มความน่าสนใจในการนำร่องต่อไปใช้งาน ผลการทดลองที่ผ่านมานั้นการทดสอบสมบัติทางกลได้ทำการทดสอบหาค่าแรงเฉือนด้วยวิธีค่างๆ เช่น วิธีการดึงเฉือน (Tensile shear strength) การทดสอบแบบดึงกางบาน (Cross tension test) และการลอกผิว (Peel test) เป็นหลัก หากมีการทดสอบความล้าด้วยของรอยต่อเกี่ยจะทำให้คาดการณ์ถึงอายุการใช้งานในอนาคตได้

- เนื่องจากอยู่ต่อเกยระหัวว่างอลูมิเนียมและเหล็กกล้าเป็นการต่อวัสดุแบบภักล้ำนิก (Galvanic couple) และเป็นการต่อเกยที่มีมุนอันกิดขึ้น ดังนั้นการทดสอบเพื่อหาค่าความด้านทานต่อการกัดกร่อนของรอยต่อ ควรมีการศึกษาต่อไป

7. ສຽງ

บทความนี้นำเสนอข้อมูลพื้นฐานในการประยุกต์ใช้การเชื่อมต่อทางแนวคิดในการเชื่อมอุดมคติให้เข้มแข็งกับหลักที่พูดคุยในหัวข้อที่ได้กล่าวมาแล้ว

7.1 การเชื่อมต้านทานแบบจุดสามารถใช้ในการเชื่อมรอยท่อ
ระหว่างอลูมิเนียมและเหล็กกล้าได้ แต่ด้วยประการเชื่อมที่
เหมาะสมต้องทำการพิจารณาต่อไป



- 7.2 การก่อตัวของสารประกอบกึ่งโลหะบริเวณอินเทอร์เฟซของรอยต่อเป็นสิ่งที่ต้องระมัดระวังเป็นพิเศษ เนื่องจากความหนาและชนิดของสารประกอบกึ่งโลหะส่งผลโดยตรงต่อความแข็งแรงของรอยต่อ
- 7.3 การวิจัยและพัฒนาสมบัติของรอยต่อ เพื่อหาค่าที่เหมาะสมในการเชื่อมรอยต่อระหว่างอลูมิเนียมและเหล็กกล้า ความมีการคำนึงการต่อไปในกลุ่มของวัสดุที่มีการใช้งานในงานอุตสาหกรรม

เอกสารอ้างอิง

- [1] Vural, M., Akkus, A. and Eryurek, B. 2006. Effect of Welding nugget diameter on the fatigue strength of the resistance spot welded joints of different steel sheets. *J. of Materials Processing Technology*, 176: 127-132.
- [2] <http://www.millerwelds.com/pdf/Resistance.pdf>, August 4, 2010.
- [3] Qiu, R., Shi, H., Zhang, K., Tu, Y., Iwamoto, C. and Satonaka, S. 2010. Interfacial characterization of joint between mild steel and aluminum alloy welded by resistance spot welding. *Materials Characterization*, 61: 684-688.
- [4] Askeland, D.A. and Phule, P.P. 2006. *The Science and Engineering of Materials*. Singapore, Thomson Learning.
- [5] Aslanlar, A., Qgur, A., Ozasrac, U., Ilhan, E. and Demir, Z. 2007. Effect of welding current on mechanical properties of galvanized chromided steel sheets in electrical resistance spot welding. *Materials and Design*, 28: 2-7.
- [6] ASM International. 2000. *ASM Handbook Volume 6 Welding, Brazing and Soldering*. Ohio, ASM International.
- [7] นิวัฒน์ คุณวงศ์. 2551. วิทยานิพนธ์ระดับบัณฑิตศึกษา เรื่อง การศึกษาผลกระทบของรอยเชื่อมเนื่องจากการเตรียมสภาพผิวน้ำของอลูมิเนียมผสมในการเชื่อมด้วยความต้านทานชนิดจุด. กรุงเทพฯ มหาวิทยาลัยเทคโนโลยีพระจอมเกล้าธนบุรี
- [8] Katnner, U.R. and Massalski, T.B. 1990. *Binary Alloy Phase Diagrams*. ASM International, Material Park, OH, P.147.
- [9] S. Kobayashi and T. Yakou. 2002. Control of Intermetallic Compound Layers at Interface between Steel and Aluminum by diffusion-treatment. *Mater. Sci. and Eng. A*, 338:44-53.
- [10] Sun, X., Stephens, E.V., Khaleel, M.A., Shao, H. and Kimchi, M. 2004. Resistance Spot Welding of Aluminum Alloy to Steel with Transition Materials – From Process to Performance – Part I: Experimental Study. *Welding Journal*, 84-6: 188s-195s.
- [11] Qiu, R., Iwamoto, C. and Satonaka, S. 2009. The Influence of reaction layer on the strength of aluminum/steel joint welded by resistance spot welding. *Materials Characterization*, 60: 156-159.
- Qiu, R., Iwamoto, C. and Satonaka, S. 2009. Interfacial microstructure and strength of steel/aluminum alloy joints welded by resistance spot welding with cover plate. *J. of Materials Processing Technology*, 209: 4186-4193.